

討 17 高張力鋼におけるⅣa, Va族とⅥa族元素の複合による析出現象について

富士製鉄中央研究所 工博 金沢正午 工博 中島明

○岡本健太郎 鈴木節雄

(1) 緒 言

既に報告した通り、当社の80キロハイテンPZ80はNbとMoとを適量同時添加することにより、Nb, Moを各々単独に添加した場合の強度上昇の算術加算をはるかに越える強度増加を得ている鋼である。

本報告は、同様の効果が他の元素の組合せにも存在するかどうかを検討するため、C 0.12~0.18, Si 0.2~0.5, Mn 1.2~1.6, Cu 0.05~0.35, B~0.003%のAlキルド鋼をベースとし、周期律表のⅣa, Va族(Ti, Zr, Nb)とⅥa族(Or, Mo, W)を各種の組合せで同時添加した900~950°C焼入650°C焼戻材について、強度と韌性に対する複合効果を実験したものである。一方このような同時添加による強度上昇を焼戻し時の析出強化現象としてとらえ、これらの析出物の形態と量とを測定し強化機構を説明した。したがつて、その析出物の形態分析法は重要であり、本報告の後半はこの方法について記述した。

(2) Ⅳa, Va族元素とⅥa族元素との複合効果

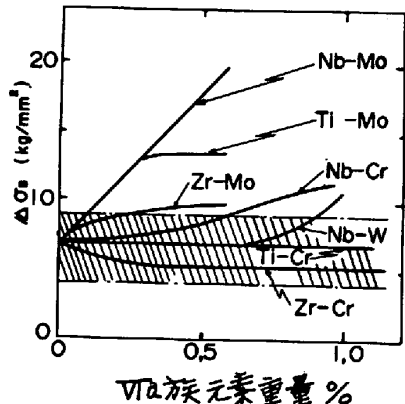


図 1 複合効果に及ぼす
VIa族元素影響

重量 %との関係を示した。図中のハッシュマークの領域はベースの鋼の $\Delta\sigma_B$ を示し、上式のもつ誤差範囲を示す。複合効果は、ハッシュマークの領域に入る組合せ Ti-Or, Zr-Or では存在せず、Nb-Cr, Nb-W では Or, W が各々 1%程度になって始めてわずかに存在し、Zr-Moでも Mo が 0.5% 程度でわずかに認められるが、Ti-Mo, Zr-Mo 鋼では各々、7 kg/mm², 14 kg/mm² 程度認められる。

(3) Nb-Mo系とNb-Or系における析出物の挙動

このように複合効果が組合せによつて大きく異なる理由は、組合せによつて

- (a) 鋼の焼入性
- (b) 焼戻しマルテンサイトのマトリックス
- (c) 焼戻し中に析出する析出物の挙動

などが異なるためと一般には考えられるが、特に析出物に着目してこれらの複合効果の大小を比較してみる。

複合効果の大きな組合せと、ほとんどない組合せの例として、Nb-MoとNb-Or系とを取り上げた。その化学組成と900°C焼入650°C焼戻しの場合の引張強さ、降伏点を表1に示し、2mm Vノッチシャルピー

テストの吸収エネルギーを図2に示した。Nb-Mo鋼は80キロ級であり、Nb-Cr鋼は70キロ級の引張強さを示し、靭性は両鋼とも良好である。

表1 化学成分および機械的性質

N	C	Si	Mn	B	Als	Nb	Mo	Cr	σ_B	σ_y
A	0.14	0.35	1.41	0.003	0.022	—	—	—	58.5	49.5
B	0.14	0.32	1.43	0.005	0.024	0.040	—	—	60.1	53.0
C	0.12	0.21	1.31	0.003	0.020	—	0.54	—	62.5	57.0
D	0.13	0.29	1.42	0.004	0.031	0.029	0.29	—	82.5	80.0
N	0.15	0.42	1.35	0.003	0.038	—	—	0.93	68.5	55.8
O	0.16	0.41	1.39	0.003	0.036	0.037	—	0.99	76.3	67.1

同時添加のNb-Cr鋼でもCrはほとんど残渣中ではなく、0.036%のinsol, Nbが分析された。X線回折の結果、これら同時添加のNb-Cr, Nb-Mo兩鋼の残渣も δ -NbC相であつた。

次に、各鋼を625°C焼戻し状態で同様の分析を行なつた結果、Nb, Cr, Nb-Cr鋼では、焼入材と焼戻材の間に分析結果の変化がなく、Mo鋼では、0.007%Moが焼戻し後増加しておりX線回折の結果では六方晶のMo₂O相であつた。Nb-Mo鋼では、0.002%Nbと0.011%Moが焼戻し後増加しておりX線回折によると δ -Nb₂O相であつた。X線回折では、Nb-Mo鋼にはMo₂Oは存在しなかつたが、ごく微量のMo₂Oも存在しないかどうかは明確ではない。

以上の結果、複合効果の顕著なNb-Mo鋼ではMo₂Oの存在は不明確であるが、もしMo₂Oが存在していたとしてもその強度に及ぼす効果は前述の計算式中に加味されている。したがつて、この鋼の顕著な複合効果はNb-Mo-C合成三元状態図に示される δ -(NbMo)O複合炭化物が焼戻し中に多数、微細に析出して生じたものであると考えられる。他方、NbとCrとは複合炭化物を形成しないので、Nb-Cr鋼はほとんどの複合効果を示さない。

これらの鋼中に析出する析出物の挙動を検討するため、(1+1)HCl抽出法により残渣分析を行ない、その結果を表2に示した。

まず焼入のままでは、Nb鋼は0.032%のinsol, Nbが分析され、X線回折の結果 δ -NbC相であつた。Cr鋼では残渣中にCrはほとんど認められず、Mo鋼では0.010%のMoが残渣として分析されたが、この相は不明である。

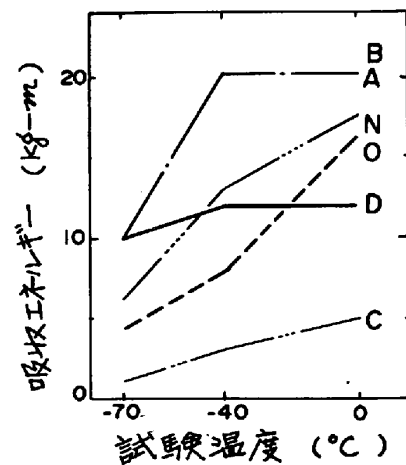


図2 鋼の低温靭性

表2 (1+1)HCl(%)による分析結果

N	Total content in Steel			900°C×1h Q			900°C×1h. Q & 625°C×1h. T		
	Nb	Mo	Cr	(Nb) ^r	(Mo) ^r	(Cr) ^r	(Nb) ^a	(Mo) ^a	(Cr) ^a
B	0.040	—	—	0.032	—	—	0.032	—	—
C	—	0.54	—	—	0.010	—	—	0.017	—
D	0.029	0.56	—	0.026	0.014	—	0.028	0.025	—
N	—	—	0.93	—	—	0.002	—	—	0.002
O	0.037	—	0.99	0.036	—	0.002	0.036	—	0.002

()^r 焼入後の不溶性元素(%)

()^a 焼入後の不溶性元素(%)

合 成三元状態図で立方晶の複合炭化物を形成するTi-Mo, Zr-Mo鋼でも、複合効果は認められる。しかし、Ti, Zrは窒化物形成傾向が大きく、大半は鋼中のNと結合して大型窒化物を形成してしまいこの程度のTi, Zr量では微細な複合炭化物を焼戻し中にわずかに析出させるにとどまるので、複合効果も小さいものと考えられる。

次に、この推論に致る手段として用いた形態分析法を示す。バナジウムと Cr, Mo, W の VIa 族元素との複合効果は秋期学会に報告する予定であるが、その形態分析法については本報告で述べることにする。

(4) 鋼中ニオブ炭窒化物の分離定量法

鋼中ニオブ炭窒化物の分離法として塩酸溶解法⁽¹⁾⁽²⁾を用い、試料の溶解時間、溶解温度の影響、試料溶解時におけるニオブの加水分解防止のための酒石酸添加の有無およびロ過材などについて検討した。

この結果、試料の溶解時間については 40~55 時間を要し、さらに地鉄溶解後 10 時間放置していると酸不溶性ニオブ 0.032% で 0.0005% の低値を示すので、地鉄溶解後直ちにロ過することが望ましい。

試料の溶解温度については、室温（30°C 以下）、50°C および 80°C の各温度で実験した。50°C 以上では試料の溶解時間を若干短縮できるが低値を示すため、室温溶解操作とした。

試料溶解時にニオブが加水分解するおそれがあるので酒石酸を添加して実験したが、酒石酸をまったく添加しない場合と分析値はよく一致したので、酒石酸を添加しないことにした。

また鋼に析出したニオブ炭窒化物を電子顕微鏡で観察すると 0.3 μ 以下のものが非常に多数認められることからロ過の際、漏れ逃すおそれがあるのでロ紙 #4, ロ紙 #50 とロ紙パルプ、ミリボアフィルター (0.3 μ, 100mμ, 50mμ) およびセラフィルター (Mittel 100~200mμ, fein 50~100mμ) などのロ過材を用いて実験した。その結果全てのロ過材の分析値がよく一致した。

以上の検討実験から鋼中ニオブ炭窒化物の分離を次のような操作で行なつた。

切削試料 1 g を 200mL ピーカーにとり、6 N 塩酸 40mL を添加して室温放置溶解する。地鉄溶解は磁石で確認し、ロ紙 #50 と少量のロ紙パルプを用いてロ過する。ピーカーと残渣は 2% 酒石酸溶液で充分洗浄後、白金ルツボに移し灼熱灰化し、ビロ硫酸カリウムで融解する。融解物を酒石酸溶液で加熱抽出し、この溶液より 4-(Z. ピリジルアゾ) レゾルシノール吸光光度法⁽³⁾にてニオブを定量する。

この分離法で得た残渣を X 線回折すると、面心立方構造のニオブ炭窒化物のみが認められ、金属ニオブや他の化合物はまったく認められなかつた。

また塩酸室温溶解法で表 3 の試料を繰り返し分析したので表 4 に示す。残渣からのニオブの定量までは約 1 時間を要した。

(5) 鋼中バナジウム化合物の分離定量法

これまで鋼中バナジウム化合物の分離法として電解法および酸溶解法などが報告されている。しかし、電解法では分離残渣の鉄の分析や X 線回折の結果からバナジウム炭化物、窒化物および炭窒化物とバナジウムを含む M₂C 型炭化物とがともに分離されるため、M₂C 型炭化物以外のバナジウム化合物の精確な定量法としては適さなかつた。酸溶解法としては硫酸溶解法、磷酸溶解法および塩酸溶解法を検討した。磷酸溶解法と塩酸溶解法はよく一致したバナジウム定量値を示したが、硫酸溶解法は変動した値を与えた。しかし、磷酸溶解法は高濃度の磷酸を用いるため取り扱いにくいので

表 3 実験試料の化学組成

C	Nb	Si	Mn	P	S	N.insol
0.018	0.0068	40.0	0.04	1.30	0.010	0.013
900°C × 1 hr 烧						

表 4 分析結果(不溶性 Nb%)

0.031	
0.031	
0.033	
0.032	
0.032	
0.031	
0.032	
0.033	
0.032	
0.031	
平均	0.031
範囲	0.031~0.033
O.V(%)	2.35

塩酸溶解法(室温溶解)⁽⁴⁾を用いることにした。

塩酸室温溶解法について試料溶解時間の影響およびロ過材などを検討した。試料溶解時間の検討では切削試料の溶解に40~55時間を要し、溶解後10時間放置しておけばバナジウム0.040%で0.001%の割合で低値を示したので直ちにロ過することが望ましい。また分離残渣の電子顕微鏡観察では0.2μ以下の化合物が多数認められることからロ過の際、漏れ逃すおそれがあるので表5の試料を用いて種々のロ過材を検討した(表6参照)。表中のロ過材は全て化合物を回収していることが知られたので、セラフィルター(M)を用いることにした。ロ過時間に8~15分を要した。

以上の検討実験から鋼中バナジウム化合物の分離法(塩酸室温溶解法)を次のような操作で行なつた。

切削試料1gを200mLビーカーにとり、6N塩酸40mLを加えて室温放置溶解する。地鉄溶解は磁石で確認し、セラフィルター(M)とロ紙#4を用い、セラフィルターを上にして吸引ロ過する。ビーカーと残渣は蒸留水で充分洗浄後、ロ過器についた残渣をロ紙#4でぬぐい取り、残渣とともにとのビーカーに移す。この残渣に硝酸と過塩素酸を添加して加熱分解し、この溶液よりバナジウムをN-ベンゾイルフェニールヒドロキシルアミン吸光光度法にて定量する。

この分離法で得られた残渣のX線回折では立方構造をもつバナジウム化合物だけが認められた。また残渣中の鉄の分析でも量はごく少ないことからM₂O型炭化物のバナジウムを塩酸室温溶解法では定量していないものと思われた。

塩酸室温溶解法で表5の試料を分析したので表7に示す。この試料の分析所要時間は試料溶解に45~50時間、化学分析に約1時間を要した。

さらに分離残渣のX線回折で窒素を多く含むバナジウム化合物VN(O)と炭素を多く含むバナジウム化合物VO(N)が認められるので、過塩素酸-過酸化水素溶液による処理を実験し分離を試みた。この処理でVN(O)は残り、VO(N)は溶解し分離定量することができた。

表5 実験試料の化学組成

O	V	Si	Mn	P	S	Ninsol
0.16	0.080	0.26	1.28	0.010	0.006	0.0045
900°C × 1 hr Q						650°C × 1 hr T

表6 ロ過材の検討結果

ロ過材	Insol	V%
ロ紙#4		0.022
ロ紙#50-ロ紙パルプ		0.023
ミリボアフィルター 0.3μ		0.022
ミリボアフィルター 100mμ		0.023
ミリボアフィルター 50mμ		0.023
セラフィルター(M) 100~200mμ		0.023

表7 分析結果(Insol V%)

0.023	
0.022	
0.024	
0.023	
0.025	
0.024	
0.023	
0.022	
平均	0.023
範囲	0.022 ~ 0.025
O.V (%)	4.14

- (1) 盛, 藤田, 時実, 山口 : 鉄と鋼 50(1964), 911
- (2) 川村, 渡辺, 鈴木 : 金属学会誌 32(1968), 180
- (3) 学振19委 8164
- (4) 川村, 渡辺, 鈴木 : 金属学会誌 32(1968), 375